



# Espaço de Estados

Alocação de polos

## Realimentação de estados

Seja o sistema dinâmico SISO (única entrada, única saída) abaixo

$$\dot{\mathbf{x}} = \mathbf{A}\mathbf{x} + \mathbf{B}u$$

$$y = \mathbf{C}\mathbf{x} + Du$$

Propõe-se o seguinte sinal de controle:

$$u = -\mathbf{K}\mathbf{x}$$

Em que  $\mathbf{K} \in \mathbb{R}^{1 \times n}$  (ou  $r \times n$ , se tivermos  $r$  sinais de controle)

Substituindo:

$$\dot{\mathbf{x}} = \mathbf{A}\mathbf{x} + \mathbf{B}(-\mathbf{K}\mathbf{x}) \rightarrow \dot{\mathbf{x}} = (\mathbf{A} - \mathbf{B}\mathbf{K})\mathbf{x} \rightarrow \dot{\mathbf{x}} = \tilde{\mathbf{A}}\mathbf{x}$$

Gera-se uma nova matriz de estados  $\tilde{\mathbf{A}}$ , com características dinâmicas possivelmente distintas de  $\mathbf{A}$ .

Teorema: se o conjunto  $(\mathbf{A}, \mathbf{B})$  é controlável, podem-se escolher arbitrariamente todos os autovalores de  $\tilde{\mathbf{A}}$  através do projeto de  $\mathbf{K}$ . Se o posto da matriz de controlabilidade é  $m < n$ , podem-se escolher apenas  $m$  dos autovalores, e  $(m - n)$  autovalores ficarão inalterados.

## Realimentação de estados

## Comentários:

- A realimentação envolve todos os estados. Por exemplo, se é um sistema com 10 estados, são 10 realimentações, cada uma com um ganho  $k_i$  diferente
- É um caso mais geral que a realimentação de saída utilizada em controle via transformada de Laplace (LGR, Bode, por exemplo), que envolve apenas uma realimentação
- Há um custo extra da necessidade de se conhecer todos os estados:
  - Sensores extras, e/ou
  - Observador de estados
- Em um sistema não controlável, se os  $(m - n)$  autovalores não controláveis são estáveis, e se os autovalores instáveis são controláveis, tem-se um sistema estabilizável
- Não há entrada externa - sistema de regulação:

$$x(0) \neq 0, \quad x_{\infty} \rightarrow 0$$

Projetando **K** – Forma canônica controlável

Suponha que o sistema está na sua forma controlável:

$$\mathbf{A} = \begin{bmatrix} 0 & 1 & 0 & \dots & 0 \\ 0 & 0 & 1 & \dots & 0 \\ \vdots & \vdots & \vdots & \ddots & \vdots \\ 0 & 0 & 0 & \dots & 1 \\ -a_n & -a_{n-1} & -a_{n-2} & \dots & -a_1 \end{bmatrix}, \quad \mathbf{B} = \begin{bmatrix} 0 \\ 0 \\ \vdots \\ 0 \\ 1 \end{bmatrix}$$

Sabe-se que a equação característica é:

$$\lambda^n + a_1 \lambda^{n-1} + \dots + a_{n-1} \lambda + a_n = 0$$

Seja  $\mathbf{K} = [k_n \ k_{n-1} \ \dots \ k_1]$ , temos:

$$\mathbf{BK} = \begin{bmatrix} 0 & 0 & 0 & \dots & 0 \\ 0 & 0 & 0 & \dots & 0 \\ \vdots & \vdots & \vdots & \ddots & \vdots \\ 0 & 0 & 0 & \dots & 0 \\ k_n & k_{n-1} & k_{n-2} & \dots & k_1 \end{bmatrix}$$

Projetando  $\mathbf{K}$  – Forma canônica controlável

Então:

$$\begin{aligned} \tilde{\mathbf{A}} &= (\mathbf{A} - \mathbf{BK}) \\ &= \begin{bmatrix} 0 & 1 & 0 & \dots & 0 \\ 0 & 0 & 1 & \dots & 0 \\ \vdots & \vdots & \vdots & \ddots & \vdots \\ 0 & 0 & 0 & \dots & 1 \\ -(a_n + k_n) & -(a_{n-1} + k_{n-1}) & -(a_{n-2} + k_{n-2}) & \dots & -(a_1 + k_1) \end{bmatrix} \end{aligned}$$

Nova equação característica:

$$\lambda^n + (a_1 + k_1)\lambda^{n-1} + \dots + (a_{n-1} + k_{n-1})\lambda + (a_n + k_n) = 0$$

Desejam-se os polos  $\mu_1, \mu_2, \dots, \mu_n$ . Eles fornecem a equação característica abaixo:

$$(\lambda - \mu_1)(\lambda - \mu_2) \dots (\lambda - \mu_n) = \lambda^n + \alpha_1 \lambda^{n-1} + \dots + \alpha_{n-1} \lambda + \alpha_n$$

Comparando ambas as equações, obtém-se  $\mathbf{K}$ 

$$a_i + k_i = \alpha_i$$

## Exemplo 1

$$A = \begin{bmatrix} 0 & 1 & 0 \\ 0 & 0 & 1 \\ -1 & -5 & -6 \end{bmatrix}, \quad B = \begin{bmatrix} 0 \\ 0 \\ 1 \end{bmatrix}, \quad u = -Kx$$

Autovalores desejados (polos de malha fechada desejados):

$$\lambda_{1,2} = -2 \pm j4, \quad \lambda_3 = -10$$

(dois polos dominantes, um que pode ser desprezado)

## Exemplo 1

$$A = \begin{bmatrix} 0 & 1 & 0 \\ 0 & 0 & 1 \\ -1 & -5 & -6 \end{bmatrix}, \quad B = \begin{bmatrix} 0 \\ 0 \\ 1 \end{bmatrix}, \quad u = -Kx$$

Autovalores desejados (polos de malha fechada desejados):

$$\lambda_{1,2} = -2 \pm j4, \quad \lambda_3 = -10$$

(dois polos dominantes, um que pode ser desprezado)

Solução:

- 1) Verificar se o sistema é controlável. Sim, (forma canônica controlável).
- 2) Obter equação característica:  $\lambda^3 + 6\lambda^2 + 5\lambda + 1$
- 3) Obter equação característica desejada:  
 $(\lambda + 2 + j4)(\lambda + 2 - j4)(\lambda + 10) = \lambda^3 + 14\lambda^2 + 60\lambda + 200$
- 4) Comparar equações características:  
 $\lambda^3 + (6 + k_1)\lambda^2 + (5 + k_2)\lambda + 1 + k_3 = \lambda^3 + 14\lambda^2 + 60\lambda + 200$
- 5) Solução:  $K = [k_3 \ k_2 \ k_1] = [199 \ 55 \ 8]$

Projetando  $\mathbf{K}$  – Todos os casos

Se  $(\mathbf{A}, \mathbf{B})$  não está na forma canônica controlável, pode-se transformar o espaço de estados para essa forma.

A matriz que transforma  $(\mathbf{A}, \mathbf{B})$  para a forma canônica controlável  $(\hat{\mathbf{A}}, \hat{\mathbf{B}})$  é  $\mathbf{T}^{-1}$ , em que

$$\mathbf{T} = \mathbf{C}\mathbf{W}$$

$$\mathbf{C} = [\mathbf{B} \mid \mathbf{A}\mathbf{B} \mid \dots \mid \mathbf{A}^{n-1}\mathbf{B}]$$

$$\mathbf{W} = \begin{bmatrix} a_{n-1} & a_{n-2} & \dots & a_1 & 1 \\ a_{n-2} & a_{n-3} & \dots & 1 & 0 \\ \vdots & \vdots & \ddots & \vdots & \vdots \\ a_1 & 1 & \dots & 0 & 0 \\ 1 & 0 & \dots & 0 & 0 \end{bmatrix}$$

$$\mathbf{x} = \mathbf{T}\hat{\mathbf{x}}, \quad \hat{\mathbf{A}} = \mathbf{T}^{-1}\mathbf{A}\mathbf{T}, \quad \hat{\mathbf{B}} = \mathbf{T}^{-1}\mathbf{B}$$

E os coeficientes de  $\mathbf{W}$  são os coeficientes da equação característica:

$$\lambda^n + a_1\lambda^{n-1} + \dots + a_{n-1}\lambda + a_n = 0$$



Projetando  $K$  – Todos os casos

Nem sempre é conveniente trabalhar na forma canônica controlável. É possível, por exemplo, que os estados da forma original estejam sendo medidos por sensores, enquanto que os estados da forma canônica controlável não possuam significado físico

Solução 1: projetar controlador na forma canônica controlável e, depois, transformar de volta para a forma inicial. Ou seja:

1) Projete  $\hat{K}$  assumindo que o sistema está na forma canônica:

$$\dot{\hat{x}} = \hat{A}\hat{x} - \hat{B}\hat{K}\hat{x}$$

Atenção: para projetar  $\hat{K}$ , precisamos **apenas** da equação característica de  $\hat{A}$  que é a mesma de  $A$ . **Não é necessário** transformar o sistema original para a forma controlável.

2) Transformando o sistema acima de volta para a forma original:

$$T^{-1}\dot{x} = T^{-1}ATT^{-1}x - T^{-1}B\hat{K}T^{-1}x$$

$$\dot{x} = Ax - B\hat{K}T^{-1}x$$

$$\dot{x} = Ax - BKx, \quad K = \hat{K}T^{-1}$$

Solução apropriada para resolução via computador

Projetando **K** – Todos os casos

Solução 2 – Substituição direta: iguale a equação característica do sistema realimentado com a equação desejada:

$$|\lambda \mathbf{I} - (\mathbf{A} - \mathbf{BK})| = (\lambda - \mu_1) \dots (\lambda - \mu_n) = \lambda^n + \alpha_1 \lambda^{n-1} + \dots + \alpha_n$$

Em que  $\mu_1, \dots, \mu_n$  são os autovalores desejados. Solução apropriada para se resolver manualmente, e apenas quando  $n \leq 3$ , pois determinante simbólico (com variáveis ao invés de número) de matriz  $n > 3$  é complicado.

## Solução 3 – Fórmula de Ackermann

O livro demonstra que

$$\mathbf{K} = [0 \ 0 \ \dots \ 0 \ 1] \mathcal{C}^{-1} \phi(\mathbf{A})$$

Em que  $\phi(\cdot)$  é a equação característica desejada, ou seja,

$$\phi(\lambda) = (\lambda - \mu_1) \dots (\lambda - \mu_n) = \lambda^n + \alpha_1 \lambda^{n-1} + \dots + \alpha_n$$

E **A** é a matriz de estado original (não realimentada)

A solução 3 é apropriada para ser resolvida via computador, e é a solução utilizada pelo MATLAB.

## Exemplo 2

$$A = \begin{bmatrix} 0 & 1 & 0 \\ 0 & 0 & 1 \\ -1 & -5 & -6 \end{bmatrix}, \quad B = \begin{bmatrix} 0 \\ 0 \\ 1 \end{bmatrix}, \quad u = -Kx$$

Autovalores desejados (polos de malha fechada desejados):

$$\lambda_{1,2} = -2 \pm j4, \quad \lambda_3 = -10$$

(dois polos dominantes, um que pode ser desprezado)

## Exemplo 1 – Solução 2

$$A = \begin{bmatrix} 0 & 1 & 0 \\ 0 & 0 & 1 \\ -1 & -5 & -6 \end{bmatrix}, \quad B = \begin{bmatrix} 0 \\ 0 \\ 1 \end{bmatrix}, \quad u = -\mathbf{K}\mathbf{x}$$

Autovalores desejados (polos de malha fechada desejados):

$$\lambda_{1,2} = -2 \pm j4, \quad \lambda_3 = -10$$

(dois polos dominantes, um que pode ser desprezado)

Solução 2 –

$$|s\mathbf{I} - \mathbf{A} + \mathbf{BK}| = \lambda^3 + 14\lambda^2 + 60\lambda + 200$$

$$\left| \begin{bmatrix} \lambda & -1 & 0 \\ 0 & \lambda & -1 \\ 1 & 5 & \lambda + 6 \end{bmatrix} + \begin{bmatrix} 0 & 0 & 0 \\ 0 & 0 & 0 \\ k_3 & k_2 & k_1 \end{bmatrix} \right| = \lambda^3 + 14\lambda^2 + 60\lambda + 200$$

$$\lambda^3 + (6 + k_1)\lambda^2 + (5 + k_2)\lambda + 1 + k_3 = \lambda^3 + 14\lambda^2 + 60\lambda + 200$$

$$\mathbf{K} = [k_3 \ k_2 \ k_1] = [199 \ 55 \ 8]$$

## Exemplo 1 – Solução 3

Solução 3 –

$$\mathbf{K} = [0 \ 0 \ 1] \mathcal{C}^{-1} \phi(\mathbf{A})$$

$$\phi(\mathbf{A}) = \mathbf{A}^3 + 14\mathbf{A}^2 + 60\mathbf{A} + 200\mathbf{I} = \begin{bmatrix} 199 & 55 & 8 \\ -8 & 159 & 7 \\ -7 & -43 & 117 \end{bmatrix}$$

$$\mathcal{C} = [\mathbf{B} \ \mathbf{AB} \ \mathbf{A}^2\mathbf{B}] = \begin{bmatrix} 0 & 0 & 1 \\ 0 & 1 & -6 \\ 1 & -6 & 31 \end{bmatrix}$$

$$\mathbf{K} = [0 \ 0 \ 1] \begin{bmatrix} 0 & 0 & 1 \\ 0 & 1 & -6 \\ 1 & -6 & 31 \end{bmatrix}^{-1} \begin{bmatrix} 199 & 55 & 8 \\ -8 & 159 & 7 \\ -7 & -43 & 117 \end{bmatrix} = [199 \ 55 \ 8]$$

## Exemplo 2 – Solução 1

$$\begin{aligned}\dot{x} &= \begin{bmatrix} 0 & 1 & 0 & 0 \\ 0 & 0 & -1 & 0 \\ 0 & 0 & 0 & 1 \\ 0 & 0 & 5 & 0 \end{bmatrix} x + \begin{bmatrix} 0 \\ 1 \\ 0 \\ -2 \end{bmatrix} u \\ y &= [1 \ 0 \ 0 \ 0] x.\end{aligned}$$

Autovalores desejados:

$$\lambda_{1,2} = -1,5 \pm j0,5$$

$$\lambda_{3,4} = -1 \pm j$$

$$\lambda^4 + 5\lambda^3 + 10.5\lambda^2 + 11\lambda + 5$$

## Exemplo 2 – Solução 1

$$\begin{aligned}\dot{x} &= \begin{bmatrix} 0 & 1 & 0 & 0 \\ 0 & 0 & -1 & 0 \\ 0 & 0 & 0 & 1 \\ 0 & 0 & 5 & 0 \end{bmatrix} x + \begin{bmatrix} 0 \\ 1 \\ 0 \\ -2 \end{bmatrix} u \\ y &= [1 \ 0 \ 0 \ 0] x.\end{aligned}$$

Autovalores desejados:  
 $\lambda_{1,2} = -1,5 \pm j0,5$   
 $\lambda_{3,4} = -1 \pm j$

Solução:

- Obter equação característica de A

$$\begin{aligned}|\lambda I - A| &= \begin{vmatrix} \lambda & -1 & 0 & 0 \\ 0 & \lambda & 1 & 0 \\ 0 & 0 & \lambda & -1 \\ 0 & 0 & -5 & \lambda \end{vmatrix} = \lambda \begin{vmatrix} \lambda & 1 & 0 \\ 0 & \lambda & -1 \\ 0 & -5 & \lambda \end{vmatrix} + 1 \begin{vmatrix} 0 & 1 & 0 \\ 0 & \lambda & -1 \\ 0 & -5 & \lambda \end{vmatrix} \\ &= \lambda(\lambda^3 - 5\lambda) = \lambda^2(\lambda^2 - 5) = \lambda^4 - 5\lambda^2\end{aligned}$$

Obs: o sistema em malha aberta é estável ou não? Por que?

## Exemplo 2 – Solução 1

$$\lambda^4 - 5\lambda^2$$

- Obter equação característica desejada

$$\begin{aligned}\Delta_f(s) &= (s + 1,5 - j0,5)(s + 1,5 + j0,5)(s + 1 - j)(s + 1 + j) \\ &= s^4 + 5s^3 + 10,5s^2 + 11s + 5\end{aligned}$$

- Obter  $\bar{K}$  apropriado para a forma canônica controlável

$$\bar{k} = [ \ 5 - 0 \quad 11 - 0 \quad 10,5 + 5 \quad 5 - 0 \ ] = [ \ 5 \quad 11 \quad 15,5 \quad 5 \ ]$$

- Calcular  $T = CW$

$$\begin{bmatrix} 0 & 1 & 0 & 2 \\ 1 & 0 & 2 & 0 \\ 0 & -2 & 0 & -10 \\ -2 & 0 & -10 & 0 \end{bmatrix} \begin{bmatrix} 0 & -5 & 0 & 1 \\ -5 & 0 & 1 & 0 \\ 0 & 1 & 0 & 0 \\ 1 & 0 & 0 & 0 \end{bmatrix} = \begin{bmatrix} -3 & 0 & 1 & 0 \\ 0 & -3 & 0 & 1 \\ 0 & 0 & -2 & 0 \\ 0 & 0 & 0 & -2 \end{bmatrix}$$

- Obter  $K$   $k = \bar{k}P^{-1} = [ \ -\frac{5}{3} \quad -\frac{11}{3} \quad -\frac{103}{12} \quad -\frac{13}{3} \ ]$



## Rastreamento

**Regulação:** fazer estados irem para zero

**Rastreamento:** seguir uma entrada de referência  $r(t)$  (ex: degrau, rampa)

Seja o sistema dinâmico SISO (única entrada, única saída) abaixo, com  $D = 0$

$$\begin{aligned}\dot{\mathbf{x}} &= \mathbf{A}\mathbf{x} + \mathbf{B}u \\ y &= \mathbf{C}\mathbf{x}\end{aligned}$$

Propõe-se o seguinte sinal de controle:

$$u = -\mathbf{K}\mathbf{x} + r$$

Substituindo:

$$\dot{\mathbf{x}} = \mathbf{A}\mathbf{x} + \mathbf{B}(-\mathbf{K}\mathbf{x} + r) \rightarrow \dot{\mathbf{x}} = (\mathbf{A} - \mathbf{B}\mathbf{K})\mathbf{x} + \mathbf{B}r$$

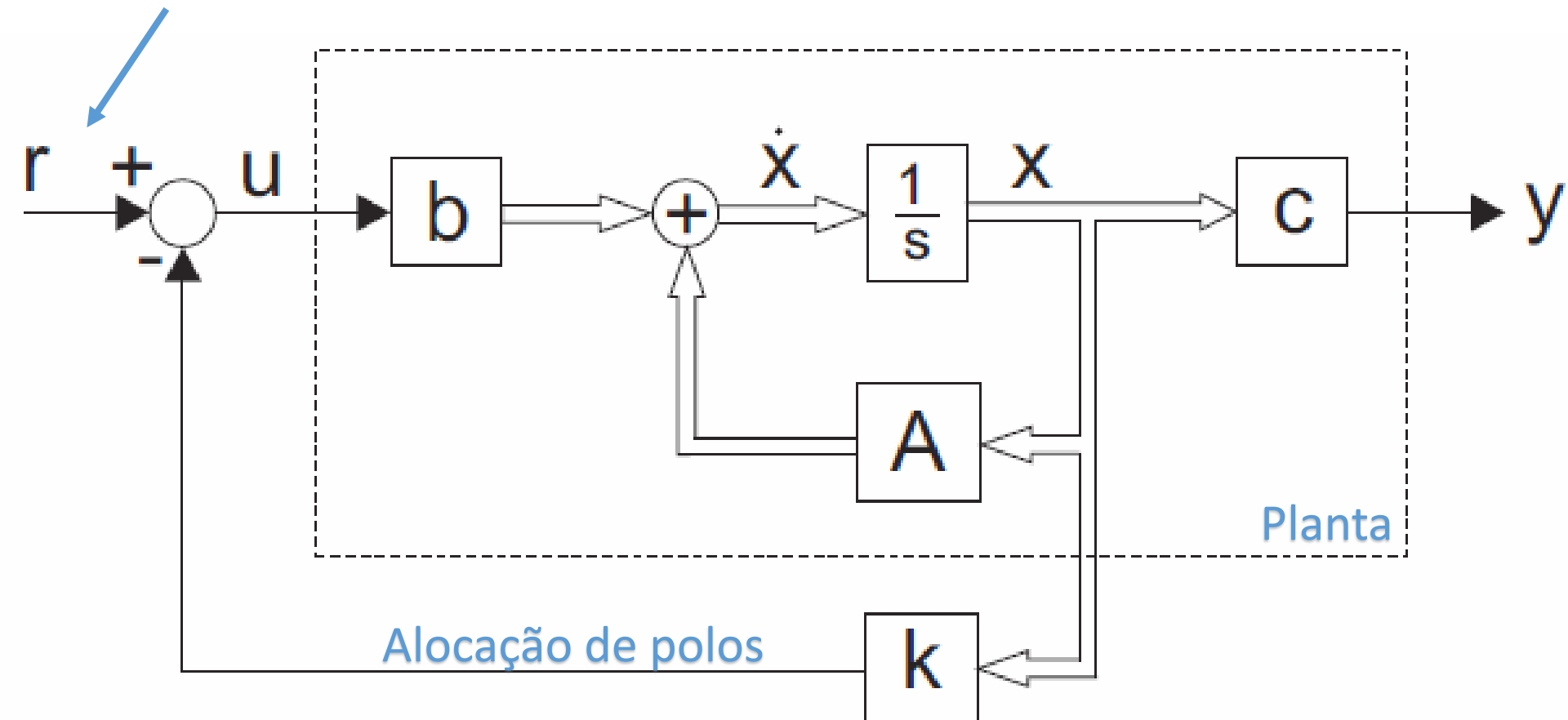
Obtém-se então:

$$\begin{aligned}\dot{\mathbf{x}} &= \bar{\mathbf{A}}\mathbf{x} + \mathbf{B}r \\ y &= \mathbf{C}\mathbf{x}\end{aligned}$$

Veja que tem-se um sistema igual ao inicial, mas com polos realocados.

Rastreamento

Rastreamento



Planta

Alocação de polos

## Rastreamento / zeros da função

Forma canônica controlável

$$\frac{Y(s)}{U(s)} = \frac{b_1 s^{n-1} + \dots + b_{n-1} s + b_n}{s^n + a_1 s^{n-1} + \dots + a_{n-1} s + a_n}$$
$$\mathbf{x} = \begin{bmatrix} x_1 \\ x_2 \\ \vdots \\ x_{n-1} \\ x_n \end{bmatrix}, \quad \mathbf{A} = \begin{bmatrix} 0 & 1 & 0 & \dots & 0 \\ 0 & 0 & 1 & \dots & 0 \\ \vdots & \vdots & \vdots & \ddots & \vdots \\ 0 & 0 & 0 & \dots & 1 \\ -a_n & -a_{n-1} & -a_{n-2} & \dots & -a_1 \end{bmatrix}, \quad \mathbf{B} = \begin{bmatrix} 0 \\ 0 \\ \vdots \\ 0 \\ 1 \end{bmatrix}$$
$$\mathbf{C} = [b_n \ b_{n-1} \ \dots \ b_1], \quad D = 0$$

Veja que:

A matriz  $\mathbf{A}$  depende apenas dos polos. Isso independe de ser canônica.A matriz  $\mathbf{C}$  depende apenas dos zeros, na forma canônica.

Alocação de polos: mexe apenas na matriz  $\mathbf{A}$ . Resultado final mantém forma canônica controlável. Conclusão: zeros não são afetados por alocação de polos (ou qualquer tipo de realimentação de estados)

## Rastreamento

Do slide anterior, vê-se que:

$$\frac{Y(s)}{R(s)} = \frac{b_1 s^{n-1} + \dots + b_{n-1} s + b_n}{s^n + \alpha_1 s^{n-1} + \dots + \alpha_{n-1} s + \alpha_n}$$

Em que  $s^n + \alpha_1 s^{n-1} + \dots + \alpha_{n-1} s + \alpha_n$  é o polinômio característico do sistema realimentado.

Vê-se que a resposta transitória do rastreador é a mesma do regulador (mesmos polos, mesmos zeros)

Assumindo uma entrada de referência degrau unitário, a saída, em regime permanente, é:

$$\lim_{t \rightarrow \infty} y(t) = \lim_{s \rightarrow 0} s \frac{Y(s)}{R(s)} R(s) = \frac{b_n}{\alpha_n}$$

Veja que o erro, em regime permanente à uma referência degrau, é dado por:

$$e_{ss} = 1 - \frac{b_n}{\alpha_n}$$

$$\text{Se } \frac{b_n}{\alpha_n} \neq 1, e_{ss} \neq 0$$

## Rastreamento

Para que seja possível atingir erro nulo, propõe-se o seguinte sinal de controle:

$$u = -\mathbf{K}\mathbf{x} + pr = -\mathbf{K}\mathbf{x} + \bar{r}$$

Assim

$$\frac{Y(s)}{\bar{R}(s)} = \frac{Y(s)}{pR(s)} = \frac{b_1s^{n-1} + \dots + b_{n-1}s + b_n}{s^n + \alpha_1s^{n-1} + \dots + \alpha_{n-1}s + \alpha_n}$$

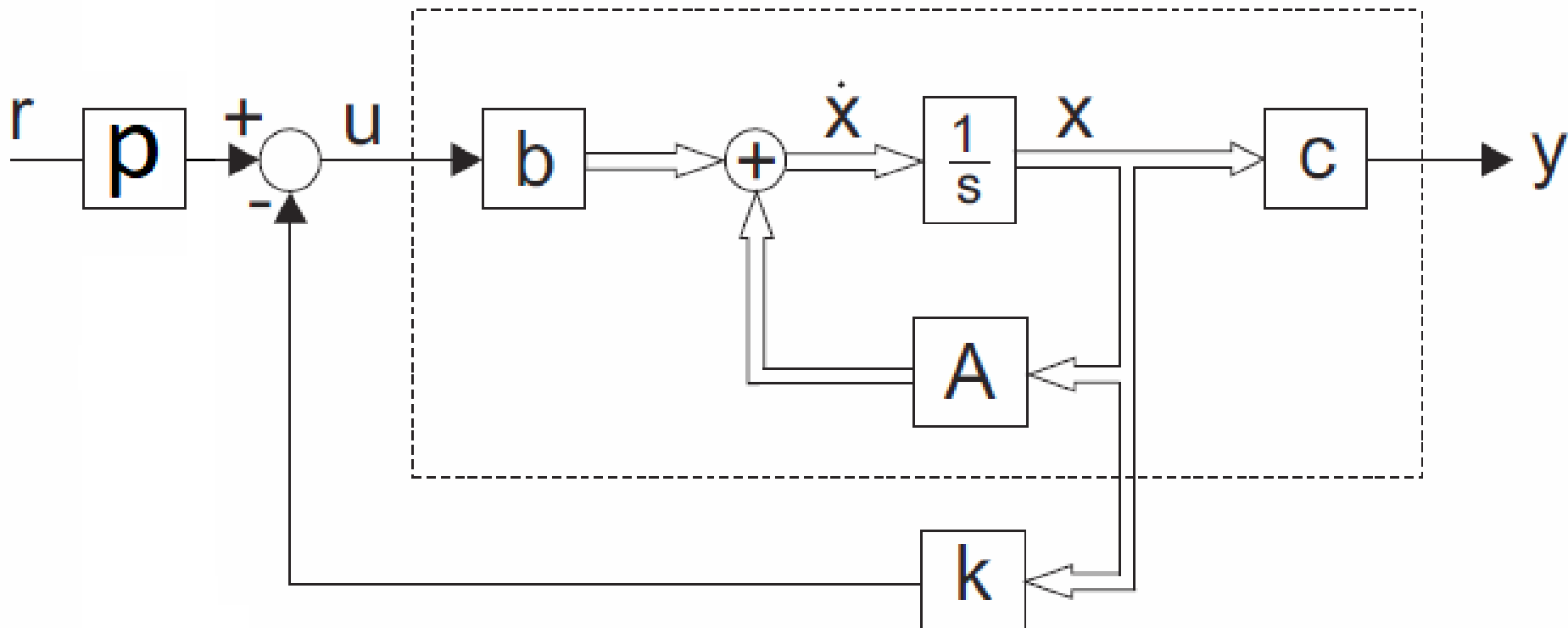
$$\frac{Y(s)}{R(s)} = p \frac{b_1s^{n-1} + \dots + b_{n-1}s + b_n}{s^n + \alpha_1s^{n-1} + \dots + \alpha_{n-1}s + \alpha_n}$$

$$\lim_{t \rightarrow \infty} y(t) = \lim_{s \rightarrow 0} s \frac{Y(s)}{R(s)} = p \frac{b_n}{\alpha_n} = 1, \text{ se } p = \frac{\alpha_n}{b_n}$$

E, com isso,  $e_{ss} = 1$

Entretanto, é necessário conhecer perfeitamente o valor de  $\frac{b_n}{\alpha_n}$ , e o valor tem que se manter constante mesmo com o desgaste de componentes, fatores externos e etc. Além disso, solução não é imune à perturbação.

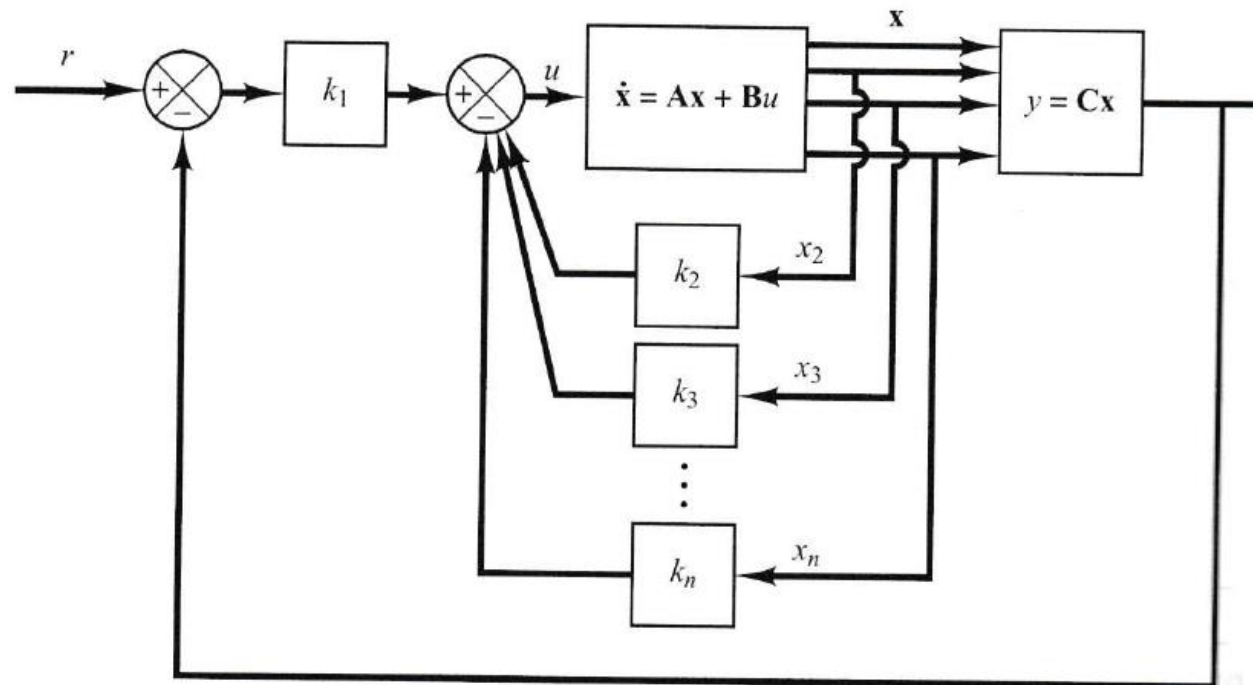
## Rastreamento



## Rastreamento

Veja que, se  $p = k_1$  e  $y = x_1$ , tem-se na parte mais externa a realimentação usual do controle clássico

Perceba também que o modelo de segunda ordem do servomecanismo com realimentação tacométrica pode ser visto como uma um modelo com polos realocados.



$$u = - \begin{bmatrix} 0 & k_2 & k_3 & \cdots & k_n \end{bmatrix} \begin{bmatrix} x_1 \\ x_2 \\ \vdots \\ x_n \end{bmatrix} + k_1(r - x_1)$$

## Rastreamento

Estudando regime permanente, viu-se que sistemas tipo 1 apresentam erro nulo ao serem realimentados. O mesmo efeito tem que acontecer em espaço de estados.

Como no slide anterior, sistema na forma canônica controlável,  $y = x_1$ ,  $p = k_1$

Se sistema é tipo 1, então equação característica:

$$s^n + a_1 s^{n-1} + \dots + a_{n-1} s + a_n$$

Tem  $a_n = 0$

Assim:

$$\mathbf{A} = \begin{bmatrix} 0 & 1 & \dots & 0 \\ 0 & 0 & \dots & 0 \\ \vdots & \vdots & \ddots & \vdots \\ 0 & 0 & \dots & 1 \\ 0 & -a_{n-1} & \dots & -a_1 \end{bmatrix}, \mathbf{B} = \begin{bmatrix} 0 \\ 0 \\ \vdots \\ 0 \\ 1 \end{bmatrix}, \mathbf{C} = [1 \ 0 \ \dots \ 0], \quad D = 0$$



## Rastreamento

Sabe-se que a função de transferência do sistema realimentado é:

$$\frac{Y(s)}{R(s)} = p \frac{b_1 s^{n-1} + \dots + b_{n-1} s + b_n}{s^n + \alpha_1 s^{n-1} + \dots + \alpha_{n-1} s + \alpha_n}$$

Veja, porém, que:

$$b_n = 1, \quad \alpha_n = 0 + k_1 = k_1, \quad p = k_1$$

Veja que  $\alpha_n = p = k_1$ , de forma que, mesmo que haja variação no valor de  $k_1$ ,  $p/\alpha_n = 1$ .

Comparada com a solução anterior  $\left(p = \frac{\alpha_n}{b_n}\right)$ , a solução atual é robusta à mudanças/incertezas de parâmetros. Além disso, não será demonstrado, mas viu-se em reposta em regime permanente que a presença do integrador ajuda o sistema a rejeitar perturbações constantes.

## Exemplo

## Exemplo via MATLAB (resolução em sala) – sistema tipo 1

```
% Sistema original
% lambda = 0, -1, -2
A = [0 1 0; 0 0 1; 0 -2 -3];
B = [0; 0; 1];
C = [1 0 0];
MA = ss(A,B,C,0);

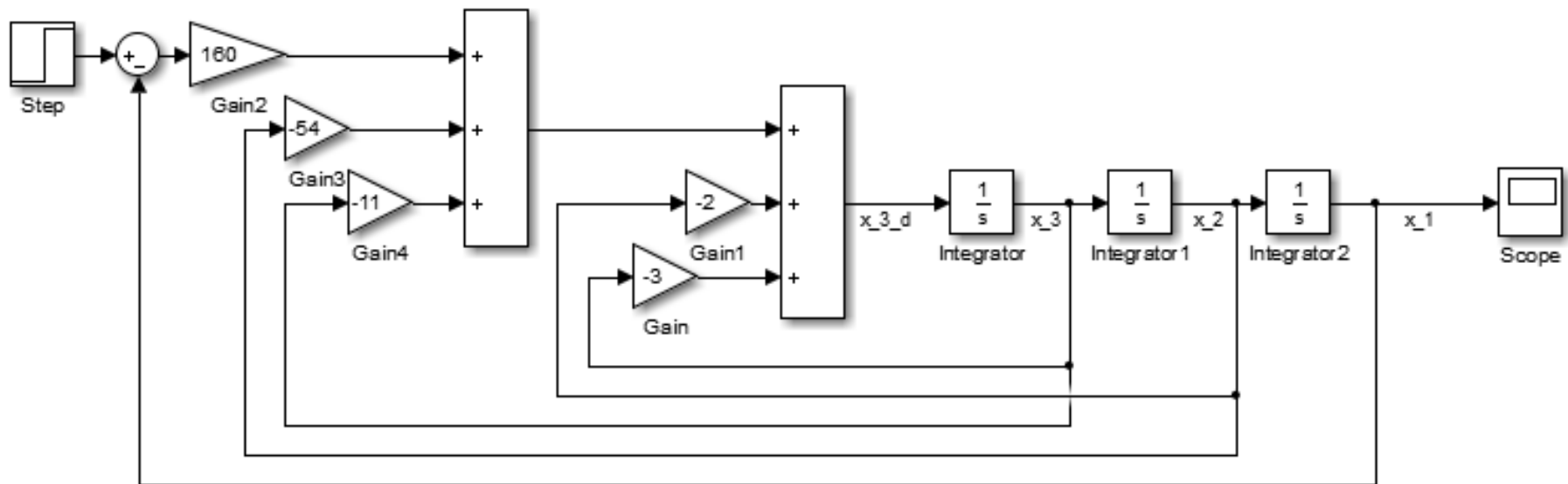
% Projeto
% Polos desejados
J = [-2+2j*sqrt(3) -2-2j*sqrt(3) -10];
K = acker(A,B,J);

A_novo = A - B*K;
B_novo = B * K(1);

MF = ss(A_novo,B_novo,C,0);
step(MF)
```

## Exemplo

## Exemplo via MATLAB (resolução em sala) – Sistema tipo 1



## Exemplo

## Exemplo via MATLAB (resolução em sala) – sistema tipo 0 – solução 1

```
% Sistema original
% lambda = -1, -2, -3
A = [0 1 0; 0 0 1; -6 -11 -6];
B = [0; 0; 1];
C = [1 0 0];
MA = ss(A,B,C,0);

% Projeto
% Polos desejados
J = [-2+2j*sqrt(3) -2-2j*sqrt(3) -10];
K = acker(A,B,J);

A_novo = A - B*K;
B_novo = B * K(1);

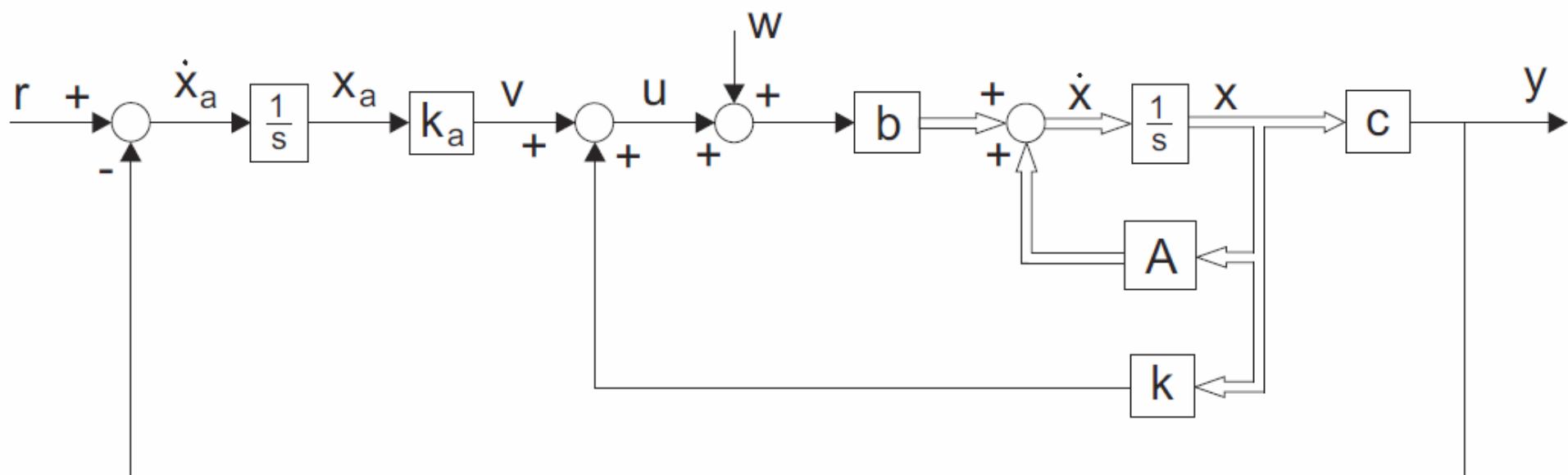
MF = ss(A_novo,B_novo,C,0);
step(MF)

B_novo_1 = -A_novo(3,1) * B;
MF_1 = ss(A_novo,B_novo_1,C,0);
step(MF_1)
```

## Variável de estado aumentada

Pode-se transformar um sistema tipo zero em um sistema tipo 1 adicionando-se um integrador após  $e = r - y$ , da mesma forma que se faz com funções de transferência

Integrador extra, entretanto, aumenta ordem do sistema, de forma que é necessário adicionar um estado a mais: **variável de estado aumentada**



Variável de estado aumentada

$$\dot{x} = Ax + bu$$

$$y = cx$$

$$\dot{x}_a = r - y = r - cx$$

$$u = kx + k_a x_a = \begin{bmatrix} k & k_a \end{bmatrix} \begin{bmatrix} x \\ x_a \end{bmatrix}$$

$$\begin{bmatrix} \dot{x} \\ \dot{x}_a \end{bmatrix} = \begin{bmatrix} A & 0 \\ -c & 0 \end{bmatrix} \begin{bmatrix} x \\ x_a \end{bmatrix} + \begin{bmatrix} b \\ 0 \end{bmatrix} u + \begin{bmatrix} 0 \\ 1 \end{bmatrix} r$$

$$y = \begin{bmatrix} c & 0 \end{bmatrix} \begin{bmatrix} x \\ x_a \end{bmatrix}$$

$$\begin{bmatrix} \dot{x} \\ \dot{x}_a \end{bmatrix} = \begin{bmatrix} A + bk & bk_a \\ -c & 0 \end{bmatrix} \begin{bmatrix} x \\ x_a \end{bmatrix} + \begin{bmatrix} 0 \\ 1 \end{bmatrix} r$$

$$y = \begin{bmatrix} c & 0 \end{bmatrix} \begin{bmatrix} x \\ x_a \end{bmatrix}$$

## Exemplo

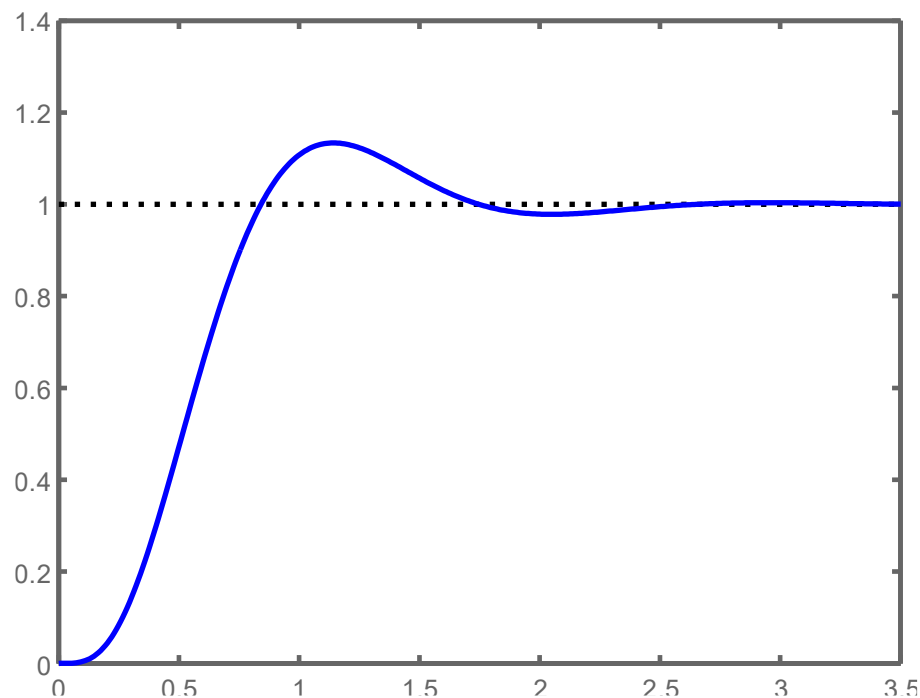
```
% Sistema original
% lambda = -1, -2, -3
A = [0 1 0; 0 0 1; -6 -11 -6];
B = [0; 0; 1];
C = [1 0 0];
MA = ss(A,B,C,0);

% Projeto
A_aug = [A zeros(3,1); -C 0];
B_aug = [B; 0];
C_aug = [C 0];
% Polos desejados
J = [-2+2j*sqrt(3) -2-2j*sqrt(3)
     -10 -10];
K = acker(A_aug,B_aug,J);
```

```
A_novo = A_aug - B_aug*K;
B_novo = [0;0;0;1];

MF = ss(A_novo_1,B_novo,C_aug,0);
step(MF)
```

$K = [714 \quad 185 \quad 18 \quad -1600]$



## Exemplo

